

СУДНОВІ ЕНЕРГОЗБЕРІГАЮЧІ ЕЛЕКТРОГЕНЕРУЮЧІ КОМПЛЕКСИ

Проаналізована ефективність охолодження суднових електрогенеруючих комплексів в ежекторних холодильних машинах, що використовують теплоту нагрітого в електрогенераторах вентиляційного повітря, відхідних газів і наддувного повітря двигунів внутрішнього згоряння, що приводять електрогенератори.

The effectiveness of cooling the ship electric generator units by ejector refrigeration machine, using the heat of ventilation air heated in electric generators, exhaust gases and scavenge air of internal combustion engines of electric generators has been analyzed.

1. Стан проблеми та мета дослідження

Сучасні суднові електрогенеруючі комплекси (ЕГК) на базі газотурбогенераторів (ГТГ) або дизельгенераторів (ДГ) є здебільшого когенераційними, оскільки поряд із основною – електричною енергією вони виробляють ще й теплову у вигляді водяної пари. Останню одержують в утилізаційних котлах (УК), що використовують теплоту відхідних газів привідних двигунів електрогенераторів – газотурбінних двигунів або двигунів внутрішнього згоряння (ГТД або ДВЗ). Ступінь використання таких когенераційних ЕГК обмежується потребами у тепловій енергії і за її відсутності скорочується майже удвічі. Як показує практика, експлуатації суднових ЕГК навіть при температурі зовнішнього повітря 0 °С кількість виробленої в УК теплоти на ходу судна в 1,5...2,0 рази перевищує її потреби [1, 2]. При температурі ж повітря 25 °С, що відповідає стандарту ISO, це перевищення ще більше: у 2...3 рази.

У той же час паливна ефективність суднових ЕГК, яка визначається питомими витратами палива g_e , залежить від температури повітря на вході первинних двигунів ЕГК (ГТД або ДВЗ). Так, кожні 10 °С підвищення температури зовнішнього повітря на вході двигунів призводять до збільшення питомих витрат палива g_e на 0,5...0,7 % і відповідно до зменшення коефіцієнта корисної дії (ККД) [1-3]. Не менш важливими є питання охолодження самих електрогенераторів (ЕГ), оскільки саме температу-

ра їх обмоток обмежує електричну потужність газотурбо- або дизельгенераторів (ГТГ або ДГ). Отже, проблема доведення параметрів повітря на вході ГТГ або ДГ, а також вентиляційного повітря ЕГ до необхідних кондицій стоїть у суднових ЕГК дуже гостро.

Тепловий потенціал вторинних енергоресурсів (ВЕР) ЕГК, перш за все відхідних газів та стисненого повітря (повітря між компресорними ступеннями ГТГ або наддувного повітря ДГ) первинних двигунів, доволі високий і становить 250...450 °С (для відхідних газів), 120...250 °С (для стисненого повітря первинних двигунів) і 80...120 °С (для нагрітого в ЕГ вентиляційного повітря). До того ж із підвищенням зовнішньої температури тепловий потенціал ВЕР зростає ще у більшій пропорції: приріст температури відхідних газів приблизно в 1,6 рази перевищує зростання зовнішньої температури повітря [1-3]. Отже, доцільним було б утилізувати ВЕР в тепловикористовуючих холодильних машинах (ТХМ), а вироблений холод застосовувати для охолодження повітря ЕГК (повітря на вході ГТГ або ДГ, вентиляційного повітря на вході ЕГ).

Використання ВЕР забезпечує скороченням енергетичних втрат з відхідними газами, стисненням і вентиляційним повітрям, частка яких сягає половини витрат первинного палива, і є одним із найбільш перспективних напрямків у судновій електроенергетиці. Законом України “Про комбіноване виробництво теплової та елек-

тричної енергії (когенерацію) та використання скидного енергопотенціалу” (№ 1908-IV), прийнятим Верховною Радою України 29.06.2004 р., встановлена пріоритетність цього напрямку і в енергетиці держави в цілому. Оскільки обсяги практично всіх шкідливих викидів від ЕГК прямо пропорційні витратам палива [1], то відповідно до економії палива скорочуються і викиди CO₂, CO, NO_x та ін.

Метою роботи є скорочення споживання паливно-енергетичних ресурсів судновими електрогенеруючими комплексами шляхом утилізації їх ВЕР в ТХМ для охолодження повітря ЕГК та визначення раціональних параметрів і схем установок, які забезпечують максимальне енергозбереження в ЕГК.

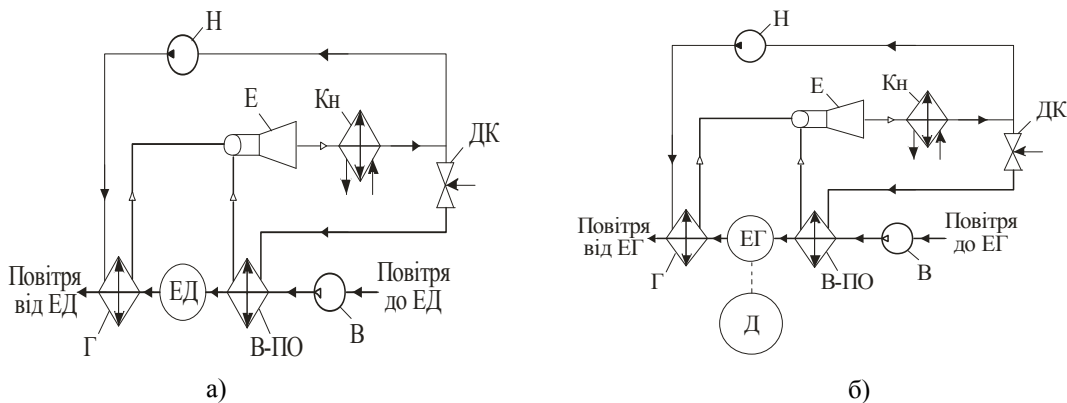


Рис. 1. Схеми ЕХМ охолодження електродвигуна (а) і електрогенератора (б), що використовують теплоту нагрітого вентиляційного повітря:

Г – генератор пари НРТ; Е – ежектор; Кн – конденсатор; Н – насос; ДК – дросельний клапан;
В-ПО – випарник-повітроохолоджувач; ЕД – електродвигун; ЕГ – електрогенератор;
Д – привідний двигун

Ежекторна ХМ складається з паросилового та холодильного контурів. Паросилової контур служить для одержання пари НРТ високого тиску, енергія якої використовується в ежекторі для стиснення пари НРТ низького тиску, всмоктуваної з випарника-повітроохолоджувача (В-ПО) холодильного контуру, до тиску в конденсаторі. У генераторі ЕХМ теплота відхідних газів використовується для одержання пари НРТ високого тиску, енергія якої у свою чергу витрачається на ежекування пари НРТ низького тиску, що випарується у випарнику В-ПО з відведенням теплоти від вентиляційного повітря на вході ЕГ або ЕД.

Енергетична ефективність ЕХМ оцінюється тепловим коефіцієнтом $z = Q_0/Q_T$, де Q_0 – холодопродуктивність, або кількість теплоти, відведеної від повітря на вході ЕГ; Q_T – теплота, що підводиться в генераторі пари до киплячого НРТ високого тиску від нагрітого в ЕГ вентиляційного повітря. Як НРТ в ЕХМ доцільно використовувати хладони R142b і R600 (н-бутан), які забезпечують досягнення прийнятних теплових коефіцієнтів $Z \approx 0,3$. Тепловий коефіцієнт z залежить від температури кипіння НРТ в генераторі t_T , випарни-

2. Аналіз результатів дослідження

Конструктивно найбільш простими і відповідно надійними в експлуатації є ТХМ струминного – ежекторного типу (ЕХМ), у яких ежектор виконує функцію компресора [4]. Застосування таких ТХМ не призведе до помітного ускладнення системи охолодження електрогенераторів (ЕГ). Як робоче тіло в ЕХМ використовуються низькокиплячі робочі тіла (НРТ) – хладони, що дозволяє утилізувати теплоту відносно низького температурного рівня. Підведення теплоти до НРТ від ВЕР ЕГК здійснюється у процесі їх фазового переходу.

Схеми ежекторних холодильних машин (ЕХМ) охолодження електродвигуна та електрогенератора, що використовують теплоту нагрітого вентиляційного повітря, наведені на рис. 1.

ку t_0 і конденсації t_k (температури охолоджуючого конденсатор середовища – забортної води або зовнішнього повітря: зростає з підвищенням t_T і t_0 та зменшенням t_k . Тепловий коефіцієнт ζ визначався в залежності від температур t_T , t_0 і t_k за методикою [5]. Для ЕХМ значення теплового коефіцієнта лежать у діапазоні $Z = 0,2...0,3$ (більше значення відповідає низьким температурам охолоджуючого конденсатор середовища).

Результати аналізу ефективності застосування ЕХМ для охолодження повітря на вході ЕГ при використанні в ЕХМ тільки теплоти нагрітого в ЕГ вентиляційного повітря наведені на рис. 2 у вигляді залежності теплових коефіцієнтів ЕХМ z , питомих (припадаючих на одиничну витрату повітря) теплових навантажень на генератор \bar{q}_T (питомої кількості теплоти, відведеної від нагрітого повітря після ЕГ) та випарник-повітроохолоджувач \bar{q}_T (питомої кількості теплоти, відведеної від повітря на вході в ЕГ, тобто питомої холодопродуктивності ЕХМ), і зниження температури Dt_b повітря на вході в ЕГ від температури кипіння НРТ в генераторі t_T при температурах кипіння НРТ у випарнику $t_0 = 0$ і 10 °С; конденсації $t_k = 35$ °С; нагрітого повітря перед генерато-

ром ЕХМ (після ЕГ) $t_{в1} = 100$ °С. Там же нанесені значення температури $t_{в2}$ повітря після генератора ЕХМ. У загальному випадку генератор складається з економайзерної та випарувальної секцій. В економайзерній секції теплота відводиться від повітря на нагрів конденсату НРТ до температури кипіння НРТ в генераторі $t_{Г}$.

Зауважимо, що при температурі конденсації НРТ $t_{к} = 35$ °С температура $t_{в2}$ вентиляційного повітря на виході з економайзерної секції генератора, у якій теплота відводиться від повітря на нагрів конденсату НРТ до температури кипіння НРТ в генераторі $t_{Г}$, не може опускатися нижче 45 °С (з урахуванням мінімальної різниці температур, близько 10 °С, між гріючим повітрям (після ЕГ) і конденсатом НРТ, що нагрівається). При цьому температура повітря на виході з випарувальної секції генератора $t_{в.И2}$ (на вході в економайзерну секцію) приймалась на 10 °С ви-

ще, ніж температура кипіння НРТ в генераторі $t_{Г}$. Варто зазначити, що співвідношення питомих теплових навантажень на випарувальну та економайзерну секції генератора дорівнює співвідношенню питомих значень теплоти фазового переходу НРТ, r , при температурі кипіння $t_{Г}$ і теплоти, необхідної для нагріву конденсату НРТ від $t_{к}$ до $t_{Г}$, тобто $c_{ж}(t_{Г} - t_{к})$, де $c_{ж}$ – теплоємність рідкого НРТ, яке в свою чергу визначається термодинамічним циклом роботи ЕХМ (температурами $t_{к}$ і $t_{Г}$). Саме обмеження зниження температури нагрітого вентиляційного повітря в економайзерній секції генератора значенням $t_{в2}$ спричиняє різке зниження питомого теплового навантаження на генератор $\bar{q}_{Г}$ в цілому з підвищенням температури $t_{Г}$, яка, у свою чергу, обмежує питоме теплове навантаження на випарувальну секцію генератора різницею температур $t_{в1} - t_{в.И2}$, де $t_{в.И2} = t_{Г} + 10$ °С.

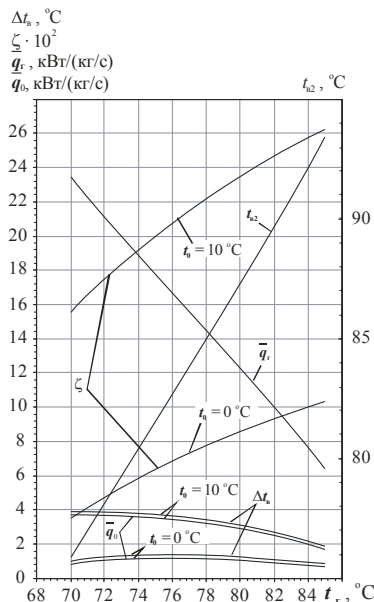


Рис. 2. Залежності теплових коефіцієнтів з ЕХМ, питомих теплового навантаження на генератор ЕХМ (теплоти, відведеної від нагрітого в ЕГ вентиляційного повітря) $\bar{q}_{Г}$ та теплоти, відведеної від вентиляційного повітря на вході ЕГ у випарнику ЕХМ (холодопродуктивності) \bar{q}_0 , зниження температури $\Delta t_{в}$ повітря у випарнику на вході ЕГ і температури $t_{в2}$ повітря після генератора ЕХМ від температури кипіння НРТ в генераторі $t_{Г}$ при температурах конденсації $t_{к} = 35$ °С і кипіння НРТ у випарнику $t_0 = 0$ і 10 °С та використанні в ЕХМ тільки теплоти нагрітого в ЕГ вентиляційного повітря

Як видно, при відносно низькій температурі нагрітого повітря після ЕГ $t_{в1} = 100$ °С охолодження повітря у випарнику незначне ($\Delta t_{в} = 4$ °С при $t_0 = 10$ °С і $\Delta t_{в} = 1,5$ °С при $t_0 = 0$ °С) і застосування ЕХМ недоцільне. Причиною цього є, поперше, невисокий тепловий потенціал джерела теплоти для ЕХМ – нагрітого вентиляційного повітря після ЕГ ($t_{в1} = 100$ °С), що обмежує тепलोперепад у випарувальній секції генератора ЕХМ різницею температур $t_{в1} - t_{в.И2} = 20...30$ °С (в діапазоні $t_{Г} = 70...80$ °С при умові $t_{в.И2} = t_{Г} + 10$ °С), а отже і теплове навантаження генератора в цілому (відповідно до відношення питомих навантажень випарувальної та економайзерної секцій, яке визначається циклом ЕХМ), по-друге, низькими тепловими коефіцієнтами ζ ЕХМ при невисоких температурах кипіння в генераторі $t_{Г}$ і низькій температурі кипіння у випарнику $t_0 = 0$ °С.

Збільшити питому холодопродуктивність \bar{q}_0 і, відповідно, степінь охолодження вентиляційного

повітря на вході в ЕГ $\Delta t_{в}$ можна, підвищуючи тепловий потенціал джерела теплоти для ЕХМ. Для цього додатково до нагрітого в ЕГ вентиляційного повітря можна використовувати інші вторинні енергоресурси (ВЕР), наприклад, відхідні гази привідного двигуна, що приводить ЕГ, температура яких вище 250 °С, тобто застосовувати комплексну утилізацію ВЕР. При цьому генератор пари слід виконувати у вигляді двох секцій – високотемпературної випарувальної та низькотемпературної економайзерної, у якій теплота відводиться від повітря на нагрів конденсату НРТ від температури конденсації до температури кипіння НРТ у випарувальній секції генератора $t_{Г}$. Випарувальну секцію доцільно встановлювати на відхідних газах привідного двигуна, а економайзерну – після ЕГ, відводячи в ній теплоту від нагрітого в ЕГ вентиляційного повітря (рис. 3).

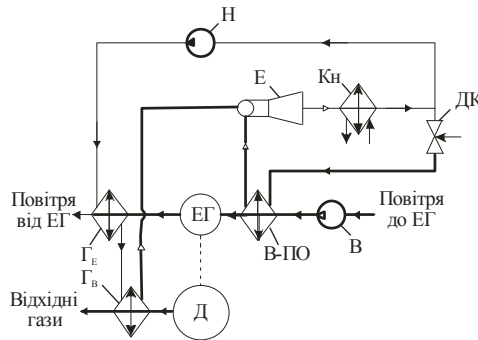


Рис. 3. Схема ЕХМ охолодження електрогенератора, що використовує теплоту нагрітого в електрогенераторі вентиляційного повітря та відхідних газів привідного двигуна:
 Γ_B і Γ_G – випарувальна та економайзерна секції генератора пари НРТ

На рис. 4 наведені питомі теплові навантаження на генератор $\bar{q}_Г$ і випарник \bar{q}_0 , теплові коефіцієнти ЕХМ z , зниження температури Dt_B повітря у випарнику В-ПО (вентиляційного повітря на вході ЕГ) у залежності від температури кипіння НРТ в генераторі t_r при температурі ки-

піння НРТ у випарнику В-ПО $t_0 = 0^\circ\text{C}$; конденсації $t_k = 35^\circ\text{C}$ і відхідних газів перед генератором $t_{r1} = 300^\circ\text{C}$ (генератор ЕХМ встановлено в газододі після утилізаційної турбіни наддувального турбокомпресора ТК дизеля).

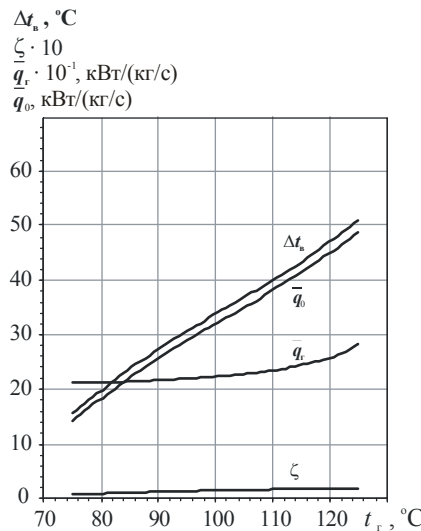


Рис. 4. Питомі теплові навантаження на генератор $\bar{q}_Г$ і випарник \bar{q}_0 , теплові коефіцієнти ЕХМ z , зниження температури Dt_B повітря у випарнику В-ПО (вентиляційного повітря на вході електрогенератора) у залежності від температури кипіння НРТ в генераторі ЕХМ t_r при температурі кипіння НРТ у випарнику В-ПО $t_0 = 0^\circ\text{C}$; конденсації $t_k = 35^\circ\text{C}$ і відхідних газів перед генератором ЕХМ $t_{r1} = 300^\circ\text{C}$

Збільшення питомої холодопродуктивності \bar{q}_0 і, відповідно, степені охолодження вентиляційного повітря на вході в ЕГ Dt_B з підвищенням t_r проходить у результаті зростання теплового коефіцієнта ζ ЕХМ. Оскільки зниження температури повітря у випарнику ЕХМ Δt_B пропорційне питомій холодопродуктивності q_0 , то відповідні криві на рис. 4 еквідистантні.

Розрахунки показують, що температура нагрітого вентиляційного повітря після економайзерної секції генератора ЕХМ t_{B2} , встановленої на виході ЕГ, знижується від вихідної 100°C до $45\dots55^\circ\text{C}$, тобто до його температури в машинному відділенні. Таким чином, вентиляційне повітря відводиться від ЕГ з температурою, практично рівною температурі в машинному відділенні.

А це означає, що для охолодження ЕГ може бути застосована замкнена система вентиляції.

Слід зауважити, що при цьому на охолодження ЕГ витрачається лише частка холодопродуктивності, рівна частці, яку становить витрата вентиляційного повітря від витрати відхідних газів привідного двигуна. З метою підвищення енергетичної ефективності не тільки ЕГ, але й усього електрогенеруючого комплексу з привідним двигуном включно решту виробленого в ЕХМ холоду доцільно задіяти для охолодження привідного двигуна.

Як показала практика експлуатації, підвищення температури навколишнього повітря t_B викликає істотне погіршення економічних і енергетичних показників суднового ДГ: збільшення пито-

мої ефективної витрати палива g_e і зменшення коефіцієнта корисної дії (ККД) η_c : зі збільшенням t_b на 10 °С величина g_e зростає на 0,5...0,7 %, а η_c зменшується на 0,5...0,7 % [1-3].

Одним із можливих шляхів зменшення негативного впливу підвищення температури навколишнього повітря t_b на показники ДГ є охолодження повітря на вході двигуна за допомогою ЕХМ, що використовує теплоту нагрітого в ЕГ

вентиляційного повітря та відхідних газів привідного двигуна. При цьому економайзерна секція генератора пари НРТ високого тиску встановлюється на нагрітому в ЕГ вентиляційному повітрі, випарувальна секція генератора – на відхідних газах ДГ, а випарник НРТ низького тиску служить для охолодження повітря на вході в ДГ та вентиляційного повітря на вході ЕГ (рис. 5).

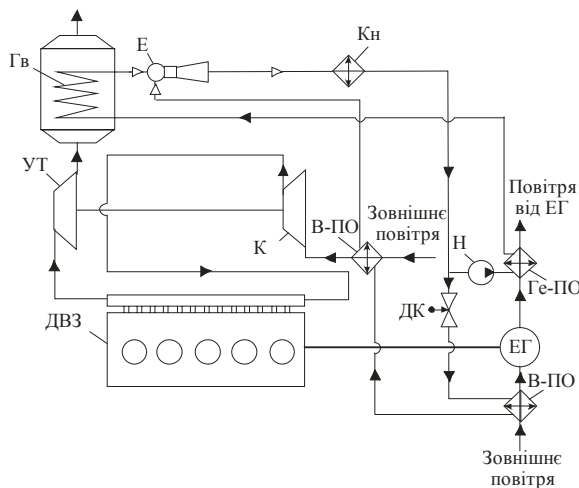


Рис. 5. Схема ЕХМ комплексного охолодження повітря на вході ЕГ та ДГ, що використовує теплоту нагрітого в ЕГ вентиляційного повітря та відхідних газів ДВЗ:

Г_в і Г_е – випарувальна та економайзерна секції генератора пари НРТ; Е – ежектор;
 Кн – конденсатор; Н – насос; ДК – дросельний клапан; В-ПО – випарник-повітроохолоджувач;
 ЕГ – електрогенератор; ДВЗ – двигун внутрішнього згоряння

Співвідношення теплових навантажень економайзерної та випарувальної секцій генератора ЕХМ, тобто теплоти, необхідної для нагріву рідини та її випаровування, визначається параметрами робочого циклу ЕХМ (температурами t_r і t_k). Тому, якщо для нагріву рідини в економайзері задіяти інше джерело теплоти, наприклад, наддувне повітря, звільняючи таким чином більшу частку теплоперепадку щодо відхідних газів для випарувальної секції і підвищуючи відповідно загальне теплове навантаження на генератор \bar{q}_r , то можна збільшити питому холодопродуктивність \bar{q}_0 і ступінь охолодження повітря Δt_b у випарнику ЕХМ. Схема ЕХМ комплексного охолодження повітря на вході ЕГ та ДВЗ, що використовує теплоту нагрітого в ЕГ вентиляційного повітря, а також стисненого повітря та відхідних газів ДВЗ, наведена на рис. 6.

ровувальної секції і підвищуючи відповідно загальне теплове навантаження на генератор \bar{q}_r , то можна збільшити питому холодопродуктивність \bar{q}_0 і ступінь охолодження повітря Δt_b у випарнику ЕХМ. Схема ЕХМ комплексного охолодження повітря на вході ЕГ та ДВЗ, що використовує теплоту нагрітого в ЕГ вентиляційного повітря, а також стисненого повітря та відхідних газів ДВЗ, наведена на рис. 6.

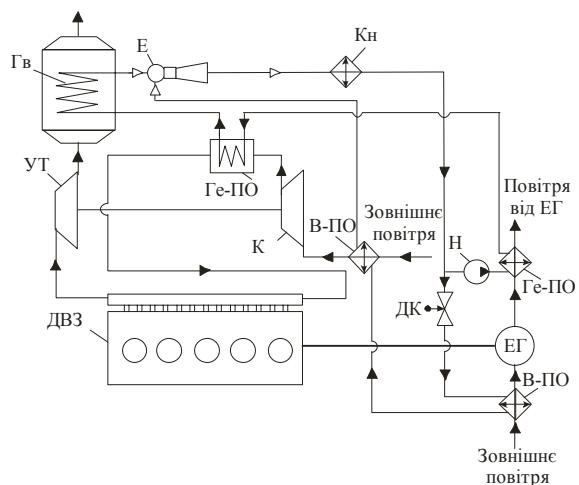


Рис. 6. Схема ЕХМ комплексного охолодження повітря на вході ЕГ та ДВЗ, що використовує теплоту нагрітого в ЕГ вентиляційного повітря і стисненого наддувного повітря та відхідних газів ДВЗ

Значення питомої холодопродуктивності q_0 , тобто теплоти, відведеної від повітря на вході ЕГ та ДВЗ у випарнику, яка припадає на одиничну витрату повітря ДВЗ, зниження температури Dt_b повітря у випарнику та теплового коефіцієнта ЕХМ ζ в залежності від температури кипіння НРТ в генераторі t_r при температурі його кипіння

у випарнику $t_0 = 0$ °С і конденсації $t_k = 35$ °С та економайзері генератора ЕХМ, встановленому на нагрітому вентиляційному повітрі ЕГ і відхідних газах ДВЗ (рис. 5) або стисненому наддувному повітрі ДВЗ (рис. 6) наведені відповідно на рис. 7, а і б.

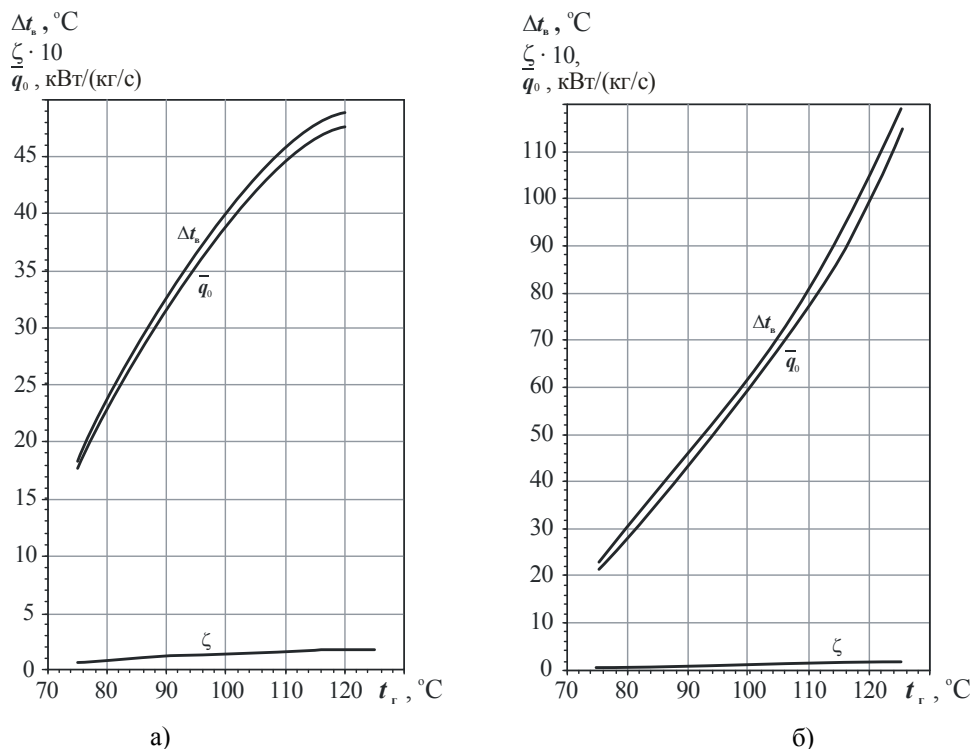


Рис. 7. Залежності теплового коефіцієнта з ЕХМ, питомої теплоти, відведеної від повітря у випарнику (холодопродуктивності) \bar{q}_0 , зниження температури Dt_b повітря у випарнику від температури кипіння НРТ в генераторі t_r при температурах конденсації $t_k = 35$ °С і кипіння НРТ у випарнику $t_0 = 0$ °С:

a – економайзер генератора ЕХМ встановлений на відхідних газах; *б* – економайзер на стисненому повітрі

Як видно, при характерних для ЕХМ температурах кипіння НРТ в генераторі $t_r = 100 \dots 120$ °С і у випарнику $t_0 = 0$ °С та розміщенні генератора в цілому (випарувальної та економайзерної його секцій) на відхідних газах (схема на рис. 5) зниження температури Dt_b повітря у випарнику ЕХМ становить $Dt_b = 40 \dots 50$ °С (рис. 7, а), що в 1,5... 2,0 рази перевищує величину, необхідну для попереднього охолодження повітря на вході в наддувний компресор ДВЗ до температури 10...15 °С. При розміщенні ж економайзера на додатковому джерелі теплоти – стисненому наддувному повітрі ДВЗ (схема на рис. 6) – зниження температури Dt_b повітря у випарнику ЕХМ становить близько 100 °С (рис. 7, б), що в 3...4 рази перевищує необхідну кількість холоду для попереднього охолодження повітря на вході в ДВЗ. Надлишковий холод можна використовувати для глибокого

охолодження стисненого наддувного повітря після штатного водяного охолоджувача ДВЗ та вентиляційного повітря на вході ЕГ.

На рис. 8 наведені залежності економії питомої витрати палива Δg_e на роботу електрогенеруючого комплексу за рахунок використання скиданої теплоти в ЕХМ для охолодження повітря на вході ДВЗ та ЕГ від температури кипіння НРТ в генераторі t_r при температурах конденсації $t_k = 35$ °С і кипіння НРТ у випарнику $t_0 = 0$ °С при розміщенні економайзера генератора ЕХМ на відхідних газах (рис. 8, а) та на стисненому повітрі (рис. 8, б). При цьому приймалось, що кожні 10 °С зниження температури повітря на вході ДГ призводять до економії питомої витрати палива Δg_e на роботу електрогенеруючого комплексу на 0,5 % [1-3].

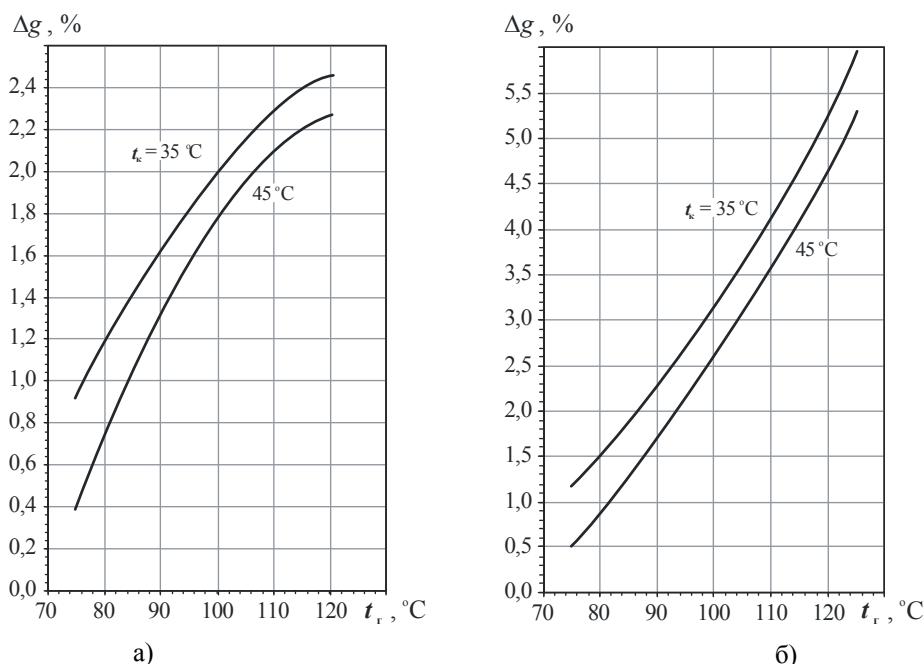


Рис. 8. Залежності економії питомої витрати палива Δg_e на роботу електрогенеруючого комплексу за рахунок використання скидної теплоти в ЕХМ для охолодження повітря на вході ДГ та ЕГ від температури кипіння НРТ в генераторі t_r при температурах конденсації $t_k = 35$ та 45°C і кипіння НРТ у випарнику $t_0 = 0^\circ\text{C}$:

a – економайзер генератора ЕХМ на відхідних газах; *б* – економайзер на стисненому повітрі

Як видно з рис. 8, застосування ЕХМ, які використовують теплоту відхідних газів ДВЗ і нагрітого в ЕГ вентиляційного повітря для охолодження ЕГ та повітря на вході ДВЗ і наддувного повітря ДВЗ, що приводять ЕГ, забезпечує економію питомої витрати палива Δg_e на роботу електрогенеруючих комплексів приблизно на 2 %, а комплексна утилізація ВЕР з використанням в ЕХМ ще й теплоти наддувного повітря ДВЗ – економію палива на 3...4 %.

Висновки

1. Встановлено, що застосування систем охолодження суднових електрогенеруючих комплексів на базі ЕХМ доцільне при комплексній утилізації теплоти ВЕР дизельгенераторів, коли на додаток до нагрітого в ЕГ вентиляційного повітря як джерело вторинної теплоти для ЕХМ використовуються відхідні гази та наддувне повітря привідних ДВЗ.
2. Комплексна утилізація теплоти ВЕР дизельгенераторів в ЕХМ для охолодження вентиля-

ційного повітря ЕГ, повітря на вході та наддувного повітря привідних двигунів суднових електрогенеруючих комплексів шляхом використання в ЕХМ теплоти відхідних газів ДВЗ і нагрітого в ЕГ вентиляційного повітря забезпечує економію питомої витрати палива Δg_e на роботу електрогенеруючих комплексів приблизно на 2 %, а додаткове використання в ЕХМ ще й теплоти наддувного повітря ДВЗ – економію палива на 3...4 %.

3. Встановлено, що при використанні теплоти лише нагрітого в ЕГ вентиляційного повітря з температурою близько 100°C застосування ЕХМ недоцільне, оскільки зниження температури повітря на вході ЕГ становить всього 4°C .
4. Застосування комплексних тепловикористовуючих систем охолодження ЕГ сприяє покращенню мікроклімату в машинних відділеннях, оскільки температура вентиляційного повітря після ЕГ знижується до $45...50^\circ\text{C}$.

ЛІТЕРАТУРА

1. Thermo Efficiency System (TES) for reduction of fuel consumption and CO_2 emission: MAN B&W Diesel A/S, Copenhagen, Denmark, 2005. – <http://www.mandiesel.com/files/news/files05055/P3339161.pdf>.
2. Influence of Ambient Temperature Conditions on Main Engine Operation: MAN B&W Diesel A/S, Copenhagen, Denmark, 2005. – http://www.mandiesel.com/files/news/files0762/5510-0005.00pr_low.pdf
3. MAN B&W. Project Guide. Two-stroke Engines. MC Programme. Vol. 1: MAN B&W Diesel A/S, Copenhagen, Denmark, 1986.
4. Радченко А.Н. Энергосберегающие системы охлаждения электрических машин // Техногенна безпека: Наукові праці МДГУ ім. П. Могили. – Миколаїв: Вид-во МДГУ ім. Петра Могили, 2007. – Т. 73. – Вип. 60. – С. 106-108.
5. Соколов Е.Я., Зингер Н.М. Струйные аппараты. – М.: Энергия, 1970. – 288 с.

Стаття надійшла до редакції 02.12.2008 р.